

Станіслав РАДОВ¹, Сергій РОТТЕ², Максим СОБОЛЄВ³, Валентина ЛИТВИН⁴,
Аліна ВОЛОНТИР⁵

¹ Кафедра геодезії, землеустрою, будівельних конструкцій та безпеки життєдіяльності, Черкаський державний технологічний університет, бульвар Шевченка, 460, Черкаси, 18000, Україна, тел. +380505529147, ел. пошта: s.radov@chdtu.edu.ua; <https://orcid.org/0009-0003-5721-996X>

² Кафедра геодезії, землеустрою, будівельних конструкцій та безпеки життєдіяльності, Черкаський державний технологічний університет, бульвар Шевченка, 460, Черкаси, 18000, Україна, тел. +380637906470, ел. пошта: s.rotte@chdtu.edu.ua; <https://orcid.org/0000-0003-1281-1241>

³ The HALO Trust, вул. Георгія Тарасенка, 57А, Харків, 61000, Україна, тел. +380507697382, ел. пошта: sobolevmaxim@ukr.net

⁴ Кафедра геодезії, землеустрою, будівельних конструкцій та безпеки життєдіяльності, Черкаський державний технологічний університет, бульвар Шевченка, 460, Черкаси, 18000, Україна, тел. +380673022165, ел. пошта: litvin_valyav@ukr.net

⁵ Кафедра геодезії, землеустрою, будівельних конструкцій та безпеки життєдіяльності, Черкаський державний технологічний університет, бульвар Шевченка, 460, Черкаси, 18000, Україна, тел. +380987499794, ел. пошта: a.volontyr@chdtu.edu.ua; <https://orcid.org/0000-0001-5609-4569>

<https://doi.org/10.23939/istcgcap2025.101.026>

ВИСОКОТОЧНИЙ АЛГОРИТМ ПЕРЕТВОРЕННЯ КООРДИНАТ ДЛЯ РІВНОПРОМІЖНОЇ ПОПЕРЕЧНОЇ ЦИЛІНДРИЧНОЇ ПРОЕКЦІЇ

Мета дослідження – розроблення алгоритму прямого й зворотного перетворення геодезичних координат та плоских прямокутних координат рівнопроміжної поперечно-циліндричної проекції, основаного на використанні геоцентрічних координатних еліпсів. *Методика.* Для обґрунтування алгоритму перетворення координат використано загальнонаукові методи абстрагування, аналізу, синтезу та математичного моделювання. *Результати.* Розроблено точний алгоритм рівнопроміжної поперечно-циліндричної проекції, в якому використано геоцентрічні координатні еліпси – осьовий меридіан (еліпс абсцис) та перпендикулярний до нього еліпс ординат. У межах координатної зони положення точки на поверхні еліпсоїда однозначно визначається криволінійними координатами, які обчислюють як дуги відповідних еліпсів від екватора до точки перетину осьового меридіана із ординатним еліпсом та від осьового меридіана до цієї точки. За плоскі прямокутні координати прийнято дуги відповідних координатних еліпсів. Для перетворення координат запропоновано геоцентрічні координатні кути в площині координатних еліпсів, які є функціями геодезичних та прямокутних координат під час прямого та зворотного перетворень. У наведеному алгоритмі плоскі прямокутні координати визначаються з точністю обчислення довжини дуги меридіана і за будь-яких значень геодезичних широт та довгот похиби не перевищують 0,1 мм. Забезпечується також висока точність зворотного перетворення. У роботі наведено формули та приклади обчислення плоских прямокутних координат рівнопроміжної поперечно-циліндричної проекції за геодезичними координатами, зворотного перетворення, масштабу спотворення та кута зближення меридіанів. *Наукова новизна.* Запропоновано використовувати геоцентрічні координатні еліпси для обґрунтування рівнопроміжної поперечно-циліндричної проекції. *Практична значущість.* Розроблений алгоритм забезпечує субміліметрову точність прямого і зворотного перетворення координат рівнопроміжної поперечно-циліндричної проекції на будь-яких широтах для координатних зон із різницею довгот до $\pm 90^\circ$.

Ключові слова: поперечно-циліндрична проекція, геометричне обґрунтування, геодезичні координати, геоцентрічні координатні еліпси, геоцентрічні координатні кути, довжина дуги еліпса, плоскі прямокутні координати, перетворення координат, масштаб проекції, кут зближення меридіанів.

Вступ

Проектування поверхні земної кулі на площину в поперечній циліндричній проекції полягає у виборі осьового (центрального) меридіана $NA'CS$ координатної зони та проведення перпендикулярно до нього великого кола $EAA'W$ через задану точку A з широтою φ та довготою λ [Lomnicki, 1927], [Engsager & Poder K.,

2007]. Положення будь-якої точки на поверхні сфери однозначно визначається геоцентрічними кутами ξ та η (рис. 1) за формулами [Deakin, 2010]

$$\left. \begin{array}{l} \operatorname{tg} \xi = \frac{\operatorname{tg} \varphi}{\cos \Delta \lambda}; \\ \sin \eta = \cos \varphi \cdot \sin \Delta \lambda \end{array} \right\} \quad (1)$$

або сферичними криволінійними координатами $X=F_{R,\xi}$ та $Y=F_{R,\eta}$ – довжинами дуг CA' та $A'A$, які

залежать від радіуса сфери R та геоцентричних кутів ξ, η .

Приймаючи напрямок на північ за вісь абсцис, отримаємо коло абсцис у вигляді осьового меридіана $NA'CS$ та коло ординат – перпендикулярне коло $EAA'W$.

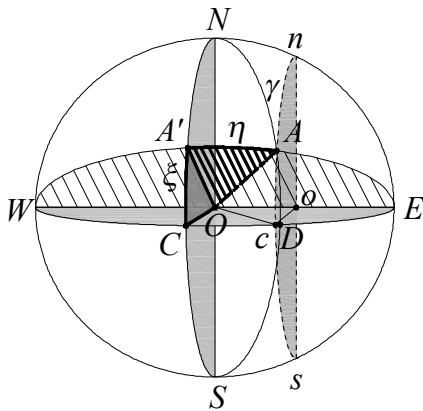


Рис. 1. Схема поперечно-циліндричної проекції

Вибравши довжини відповідних дуг за плоскі прямокутні координати та трансформуючи ординату, можна отримати [Гудз, 2021], :

– рівнопроміжну проекцію (наприклад, проекцію Кассіні – Зольднера), в якій масштаби споторені за координатними осями становлять $m_x = \sec \eta$, $m_y = 1$, а масштаб споторення площ – $m_p = \sec \eta$,

$$\begin{cases} x = R \cdot \xi; \\ y = R \cdot \eta; \end{cases} \quad (2)$$

– рівнокутну проекцію (наприклад, проекцію Гаусса – Ламберта), в якій $m_x = m_y = \sec \eta$ та $m_p = \sec^2 \eta$,

$$\begin{cases} x = R \cdot \xi; \\ y = R \cdot \ln \operatorname{tg} \left(\frac{\pi}{4} + \frac{\eta}{2} \right); \end{cases} \quad (3)$$

– рівновелику проекцію (наприклад, аналогічну рівновеликій циліндричній проекції Ламберта), в якій $m_x = \sec \eta$, $m_y = \cos \eta$ та $m_p = 1$,

$$\begin{cases} x = R \cdot \xi; \\ y = R \cdot \sin \eta; \end{cases} \quad (4)$$

Особливістю наведених проекцій є рівність абсцис, що істотно спрощує трансформування між проекціями.

Координатним колам сфери на земному еліпсоїді відповідають еліпси $NA'CS$ та $EAA'W$ з півосями a і b (осьовий меридіан) та a і ρ (перпендикулярний перетин), де ρ – радіус-вектор OA' , що обчислюється за відомою фор-

мулою (e – перший ексцентриситет меридіанного еліпса):

$$\rho = a \cdot \sqrt{\frac{1-e^2}{1-e^2 \cos^2 \xi}}. \quad (5)$$

На цей час у поперечно-циліндричних проекціях земного еліпсоїда на площину за вісь абсцис приймають осьовий меридіан (еліпс абсцис), але замість ординатного еліпса $EAA'W$ використовують практично геодезичні лінії, проведенні через задану точку перпендикулярно до осьового меридіана. Тому лінія ординат не є плоскою, вона має двояку кривизну як довільна геодезична лінія. Наприклад, абсциса в проекції Кассіні – Зольднера [Snyder, 1987] у межах 6° координатної зони близька до абсциси в проекції Гаусса – Крюгера, а ордината – довжині геодезичної лінії між заданою точкою та її проекцією на осьовий меридіан.

Для перетворення координат між різними геодезичними проекціями використовують алгоритми переходу через геодезичні координати [Łyszkowicz, 2024]. Для цього розроблено універсальне програмне забезпечення PROJ [Автори PROJ, 2025]. Трансформація рівнопроміжної проекції в рівнокутну або рівновелику теж неможлива без переходу до геодезичних широти B та довготи L , що ускладнює врахування споторення кутів, довжин ліній та площ.

Мета

Рівнопроміжні поперечно-циліндричні проекції використовують для картографування витягнутих вздовж меридіана територій. В рівнопроміжних проекціях відсутні споторення вздовж осьового меридіана та перпендикулярних до нього ліній [Літинський, 2001], тому в них споторення площ менше, ніж у обов'язковій в Україні рівнокутній проекції Гаусса – Крюгера [Інструкція, 1998], [Порядок, 2016].

Наприклад, проекцією Кассіні – Зольднера продовжують користуватися для картографічних досліджень, вона доступна в ArcGIS, ArcMap, QGIS. Точність алгоритму цієї проекції [Snyder, 1987] за межами 6° координатної зони істотно зменшується і досягає дециметрових відхилень.

Мета дослідження – розроблення точнішого алгоритму рівнопроміжної поперечно-циліндричної проекції. У цій роботі обґрутовано високоточний алгоритм визначення площих

прямокутних координат у рівнопроміжній проекції земного еліпсоїда використанням геоцентричних кутів у площині координатних еліпсів $NA'CS$ та $EAA'W$ (рис. 1).

Методика

Для обґрунтування алгоритму перетворення координат використано загальнонаукові методи абстрагування, аналізу, синтезу та математичного моделювання.

Результати

У роботі наведено формули та приклади обчислення плоских прямокутних координат рівнопроміжної поперечно-циліндричної проекції за геодезичними координатами, зворотного перетворення, масштабу спотворення та кута зближення меридіанів.

Геометричне обґрунтування проєкції

Для побудови проєкції через задану на поверхні еліпсоїда точку A , геодезичні координати якої B та L , проведемо геоцентричний перетин $WA'AE$ перпендикулярно до площини осьового меридіана координатної зони $NA'CS$ (рис. 1).

Тепер положення точки A на поверхні еліпсоїда в межах до $\pm 90^\circ$ координатної зони можна також однозначно визначити криволінійними координатами: абсцисою $\xi = CA'$ відносно екватора $WCDE$ та ординатою $\eta = A'A$ щодо меридіана $NA'CS$.

Дугам еліпсоїда ξ та η (рис. 1) відповідають геоцентричні кути ξ та η між відповідними радіусами-векторами $OC-OA'$ та $OA'-OA$.

Спроєктуємо точки еліпсоїда на сферу за їх радіусами-векторами. Тоді зв'язок між координатами точок на сфері та на еліпсоїді має вигляд:

$$\begin{cases} \varphi = \phi; \\ \lambda = L, \end{cases} \quad (6)$$

де φ та λ – сферичні широта та довгота точок; λ та L – геоцентрична широта та геодезична довгота точок.

Геоцентричні кути ξ та η визначаються з допоміжного полярного прямокутного сферичного трикутника $A'N_sA_s$ (рис. 2) за формулами:

$$\begin{cases} \operatorname{tg} \xi = \frac{\operatorname{tg} \phi}{\cos l} = \frac{(1 - e^2) \operatorname{tg} B}{\cos l}, \\ \sin \eta = \cos \phi \cdot \sin l, \end{cases} \quad (7)$$

де $e = \sqrt{2 \cdot \alpha - \alpha^2}$ – перший ексцентриситет меридіанного еліпса; α – полярне стиснення земного еліпсоїда; l – різниця довгот заданої точки та осьового меридіана координатної зони.

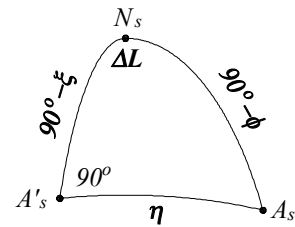


Рис. 2. Полярний сферичний трикутник

Приймаючи за плоскі координати x та y довжини відповідних дуг еліпсоїду ξ та η , отримаємо систему прямокутних координат у рівнопроміжній проекції [Радов, 2018]:

$$\begin{cases} x = CA' = R_\xi \xi; \\ y = A' A = R_\eta \eta, \end{cases} \quad (8)$$

де R_ξ та R_η – інтегральні радіуси кривизни дуг CA' та $A'A$.

Використовуючи для обчислення ординат у функції геоцентричного кута η аналогічно до формул (3) та (4), отримаємо практично рівнокутну та рівновелику проекції [Радов, Соболев, 2018].

Для визначення масштабу спотворення проекції m та геодезичного зближення меридіанів γ проведемо в заданій точці A площину $nAcS$ паралельно до площини осьового меридіана (рис. 1). У результаті перетину цієї площини з поверхнею земного еліпсоїда отримаємо еліпс $nAcS$, велика піввісь якого a' та велика піввісь еліпсоїда a пов'язані рівнянням

$$m = \frac{a}{a'}. \quad (9)$$

У прямокутному трикутнику OoC (рис. 3) довжина катета Oo являє собою ординату точки Y_A в системі просторових прямокутних координат, а гіпотенуза Oc – велику піввісь еліпсоїда.

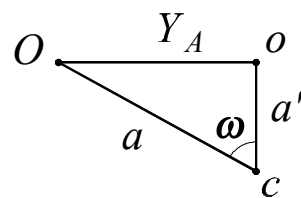


Рис. 3. Схема визначення масштабу спотворення

Тому масштаб спотворення абсциси становить

$$m_x = \sec \omega, \quad (10)$$

де кут ω визначається за формулою

$$\sin \omega = \frac{\cos B \cdot \sin l}{\sqrt{1 - e^2 \sin^2 B}}. \quad (11)$$

Оскільки ординати в рівнопроміжній проекції не спотворюються (тобто $m_y = 1$), масштаб спотворення площині дорівнюватиме

$$m_p = m_x \cdot m_y \cdot \cos 90^\circ = \sec \omega. \quad (12)$$

Наприклад, для вихідних даних $B = 48^\circ$, $l = 3^\circ$, $a = 6378245$ м, $\alpha = 1/298,3$ отримаємо за формулою (11) $\sin \omega = 0,03508$. Отже, кут спотворення проекції $\omega = 2,01^\circ$. Тому масштаби спотворень зображення у цій точці, обчислені за формулами (10) та (12), становлять $m_x = m_p = 1,000616$, якщо $m_y = 1$.

Геодезичним зближенням меридіанів у точці A є кут γ між геодезичним меридіаном цієї точки AN та дотичною An до еліпсоїда в площині, що паралельна до осьового меридіана $nAcs$ (рис. 1).

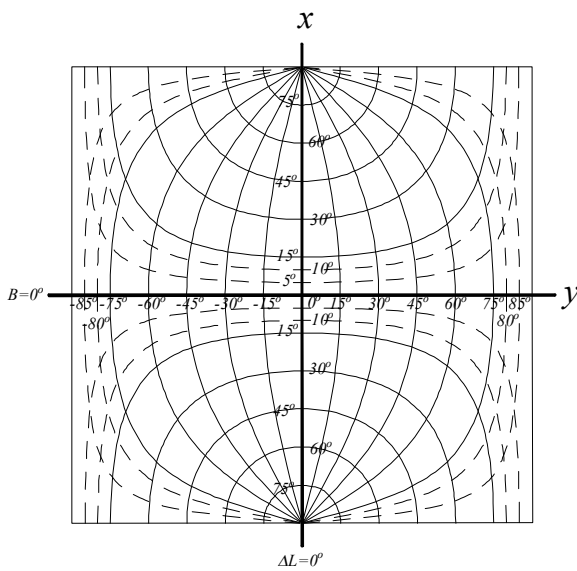


Рис. 4. Картографічна сітка рівнопроміжної поперечно-циліндричної проекції

Картографічну сітку рівнопроміжної поперечно-циліндричної проекції, основаної на використанні геоцентричних координатних еліпсів, наведено на рис. 4.

Обчислення плоских координат

Згідно з геометричним обґрунтуванням проекції абсцисою x є довжина дуги осьового

меридіана від екватора до точки A' . Довжину дуги меридіана обчислюють за формулою [Савчук, 2005]

$$x = a(1 - e^2) \int_0^{B'} \frac{dB'}{\sqrt{(1 - e^2 \sin^2 B')^3}}, \quad (13)$$

де B' – геодезична широта точки A' .

Для визначення абсциси знайдемо геоцентричну широту ξ точки A' за формулою (7) та її геодезичну широту B' за формулою:

$$\operatorname{tg} B' = \frac{\operatorname{tg} \xi}{(1 - e^2)} = \frac{\operatorname{tg} B}{\cos l}. \quad (14)$$

Абсцису x обчислимо як довжину дуги меридіана від екватора до точки з широтою B' за відомими формулами [Савчук, 2005] з додатковими елементами розкладу підінтегральної функції (13) в ряд:

$$x = R \cdot B' + \sum_{i=1}^{\infty} A_{2i} \sin(2i \cdot B'), \quad (15)$$

$$\text{де } R \approx A_0 \left(1 + \frac{3}{4} e^2 + \frac{45}{64} e^4 + \frac{175}{256} e^6 + \frac{11025}{16384} e^8 + \frac{43659}{65536} e^{10} \right) \quad (16)$$

$A_0 = a(1 - e^2)$ – допоміжний коефіцієнт;

a – велика піввісь земного еліпсоїда;

$$A_2 \approx -A_0 \left(\frac{3}{8} e^2 + \frac{15}{32} e^4 + \frac{525}{1024} e^6 + \frac{2205}{4096} e^8 \right); \quad (17)$$

$$A_4 \approx A_0 \left(\frac{15}{256} e^4 + \frac{105}{1024} e^6 + \frac{2205}{16384} e^8 \right); \quad (17)$$

$$A_6 \approx -A_0 \left(\frac{35}{3072} e^6 + \frac{105}{4096} e^8 \right).$$

Для визначення ординати знайдемо радіус-вектор у точці A' з широтою B' та ексцентриситет e_y допоміжного (ординатного) еліпса $WA'AE$:

$$\rho_{A'} = \frac{a \cdot \sqrt{1 - e^2}}{\sqrt{1 - e^2 \cos^2 \xi}}; \quad (18)$$

$$e_y = \frac{\sqrt{a^2 - \rho_{A'}^2}}{a}, \quad (19)$$

де ξ та $\rho_{A'}$ – геоцентрична широта та радіус-вектор еліпсоїда в точці A' .

Кут між нормаллю допоміжного еліпса $WA'AE$ та лінією WE екватора обчислимо через геоцентричний кут η (7) за формулою:

$$\operatorname{tg} \psi = \frac{\operatorname{tg}(90^\circ - \eta)}{1 - e_y^2}. \quad (20)$$

Тоді довжина дуги допоміжного еліпса $WA'AE$ між точками A' та A є ординатою у цієї точки:

$$y = R' \cdot (90^\circ - \psi) - \sum_{i=1}^{\infty} A'_{2i} \sin(2i \cdot \psi), \quad (21)$$

де радіус R' та коефіцієнти A'_{22} , A'_{44} , A'_{66} визначають за формулами (16) та (17) для ексцентриситету e_y (19).

Зауважимо, що за від'ємних значень кута ψ (коли точка розміщена західніше від осьового меридіана) у формулі (21) замість $(90^\circ - \psi)$ треба брати $(-90^\circ - \psi)$.

Обчислення геодезичних координат

Оскільки плоскі прямокутні координати x (15) та y (21) в рівнопроміжній проекції ϵ , по суті, довжинами дуг CA' та $A'A$ відповідних еліпсів $NA'CS$ та $WA'AE$, необхідно спочатку знайти параметри цих еліпсів – ексцентриситети e і e_y (19), радіуси еквівалентних еліпсам за довжиною кіл R і R' (16) та відносні величини n і n_y :

$$n = \frac{\alpha}{2-\alpha}; \quad n_y = \frac{a - \rho_{A'}}{a + \rho_{A'}}, \quad (22)$$

а потім – геоцентричні кути ξ та η , за якими можна обчислити геодезичні координати B та L на основі рівнянь (7).

Для визначення геоцентричних кутів ξ та η скористаємося найточнішим алгоритмом обчислення геодезичної широти точки B' за довжиною дуги меридіана x [Deakin, 2010], в якому використовується зображення еліпсоїда на сфері за проекцією Мольвейде.

Наближене значення сферичної широти

$$u = \frac{x}{R} \quad (23)$$

уточнюємо за формулою:

$$\theta = u + \sum_{i=1}^{\infty} \beta_{2i} \sin(2i \cdot u), \quad (24)$$

де коефіцієнти β_2 , β_4 , β_6 , β_8 обчислюють за відносною величиною n :

$$\left. \begin{aligned} \beta_2 &\approx -\frac{1}{2}n + \frac{2}{3}n^2 - \frac{37}{96}n^3 + \frac{1}{360}n^4 + \frac{81}{512}n^5 - \frac{96199}{604800}n^6; \\ \beta_4 &\approx -\frac{1}{48}n^2 - \frac{1}{15}n^3 + \frac{437}{1440}n^4 - \frac{46}{105}n^5; \\ \beta_6 &\approx -\frac{17}{480}n^3 + \frac{37}{840}n^4 + \frac{209}{4480}n^5; \\ \beta_8 &\approx -\frac{4397}{161280}n^4 + \frac{11}{504}n^5. \end{aligned} \right\} \quad (25)$$

Геодезична широта точки B' за довжиною дуги меридіана x остаточно визначається за формулою [Deakin, 2010]:

$$B' = \theta + \sum_{i=1}^{\infty} k_{2i} \sin(2i \cdot \theta) \quad (26)$$

де

$$\left. \begin{aligned} k_2 &\approx +2n - \frac{2}{3}n^2 - 2n^3 + \frac{116}{45}n^4 + \frac{26}{45}n^5 - \frac{2854}{675}n^6; \\ k_4 &\approx \frac{7}{3}n^2 - \frac{8}{5}n^3 - \frac{227}{45}n^4 + \frac{2704}{315}n^5; \\ k_6 &\approx +\frac{56}{15}n^3 - \frac{136}{35}n^4 - \frac{1262}{105}n^5; \\ k_8 &\approx +\frac{4279}{630}n^4 - \frac{332}{35}n^5. \end{aligned} \right\} \quad (27)$$

За геодезичною широтою B' обчислюють геоцентричний кут ξ :

$$\xi = \arctg[(1 - e^2) \cdot \operatorname{tg} B'], \quad (28)$$

а потім – радіус-вектор земного еліпсоїда в точці A' та ексцентриситет e_y допоміжного еліпса $WA'AE$ за формулами (18) та (19).

Обчислення аналогів “наближеної сферичної широти” u' , “сферичної широти” θ' та “геодезичної широти” ψ для допоміжного еліпса $WA'AE$ виконується за формулами [Deakin, 2010]:

$$u' = 90^\circ - \frac{y}{R'}; \quad (29)$$

$$\theta' = u' + \sum_{i=1}^{\infty} \beta'_{2i} \sin(2i \cdot u'); \quad (30)$$

$$\psi = \theta' + \sum_{i=1}^{\infty} k'_{2i} \sin(2i \cdot \theta'), \quad (31)$$

де коефіцієнти β'_2 , β'_4 , β'_6 , β'_8 та k'_2 , k'_4 , k'_6 , k'_8 визначаються за формулами (25) та (27) для ексцентриситету e_y (19).

За кутом ψ між нормальню до допоміжного еліпса $WA'AE$ та лінією WE екватора обчислюють геоцентричний кут η за формулою:

$$\eta = 90^\circ - \arctg[(1 - e_y^2) \cdot \operatorname{tg} \psi]. \quad (32)$$

Геодезичні координати точки B та l відносно екватора та осьового меридіана визначають за формулами:

$$\operatorname{tg} l = \frac{\operatorname{tg} \eta}{\cos \xi}; \quad (33)$$

$$\operatorname{tg} B = \frac{\operatorname{tg} \phi}{1 - e^2}, \quad (34)$$

де

$$\phi = \arcsin(\sin \xi \cdot \cos \eta). \quad (35)$$

Приклади перетворення координат

Приклади перетворення координат наведено в табл. 1 та табл. 2.

Неточності формул обчислення координат стають очевидними під час зворотного перетворення. Тому для перевірки точності наведених алгоритмів поперечно-циліндричної проекції виконано розрахунки послідовного

перетворення координат $B,L \rightarrow x,y \rightarrow B,L$ та $x,y \rightarrow B,L \rightarrow x,y$ з округленням розрахункових значень прямокутних координат до 0,1 мм та геодезичних координат до 0,00001".

Таблиця 1
Обчислення плоских координат

B	48 0	0,0000	l	3 0	0,0000
a	6378245,000		α		0,003352330
$\operatorname{tg} \phi$	1,103178717		ϕ	47 48	30,9283
$\operatorname{tg} \xi$	1,104692660		ξ	47 50	51,6760
$\sin \eta$	0,035149326		η	2 0	51,5625
$\operatorname{tg} B'$	1,112136659		$\rho_{A'}$		6366466,3892
e	0,081813334		e_y		0,0690745043
B'	48,03906983		ψ		87,99310376
	48 2 20,6514			87 59	35,1735
A_0	6367558,4969		A'_0		6372357,0553
A_2	-16036,4802		A'_2		-8833,9572
A_4	16,8281		A'_2		5,1027
A_6	-0,0220		A'_2		-0,0037
x	5322865,4995		y		223823,2743

Таблиця 2

Обчислення геодезичних координат

x	5322865,4995	y	223823,2743
a	6378245,000	$\operatorname{tg} \xi$	1,104692660
α	0,003352330	$\rho_{A'}$	6366466,3892
e	0,081813334	e_y	0,0690745043
n	0,001678979	n_y	0,000924196
R	6367558,4969	R'	6372357,0553
u (рад.)	0,835935077	u' (рад.)	1,535672232
β_2	-0,0008376121	β'_2	-0,0004615289
β_4	-5,90417E-08	β'_4	-1,78470E-08
β_6	-1,673E-10	β'_6	-2,793E-11
β_8	-2,164E-13	β'_8	-1,988E-14
θ (рад.)	0,835101751	θ' (рад.)	1,535639839
k_2	0,0033560696	k'_2	0,0018478209
k_4	6,569986E-06	k'_4	1,991722E-06
k_6	1,76388E-08	k'_6	2,94422E-09
k_8	5,385E-11	k'_8	4,949E-12
B' (рад.)	0,838439938	ψ (рад.)	1,535769380
ξ (рад.)	0,835099691	η (рад.)	0,035156567
$\sin \phi$	0,740905309	$\operatorname{tg} l$	0,052407779
ϕ	47 48 30,9283	l	3 0 0,0000
$\operatorname{tg} B$	1,110612515	B	48 0 0,0000

У межах 15° координатних зон результати перетворень збігаються із вихідними даними. Для широт B та різниці довгот l від 10° до $\pm 90^\circ$ спостерігається розбіжність із вихідними даними результатів перетворення прямокутних координат x,y до 0,4 мм, а геодезичних координат B,L – до 0,00003".

Отже, наведені алгоритми забезпечують високу точність перетворення координат на будь-яких широтах для координатних зон із різницею довгот до $\pm 90^\circ$.

Обчислення зближення меридіанів

Для обчислення зближення меридіанів γ за диференціалом широти ∂B та γ' за диференціалом різниці широти ∂l використаємо такі залежності [Савчук, 2005]:

$$\operatorname{tg} \gamma = -\frac{dy}{dB} / \frac{dx}{dB}, \quad \operatorname{tg} \gamma' = \frac{dx}{dl} / \frac{dy}{dl}, \quad (36)$$

де $\frac{dx}{dB}, \frac{dy}{dB}, \frac{dx}{dl}, \frac{dy}{dl}$ – часткові похідні від абсеси x (15) та ординати y (21) за широтою B та різницею довгот l .

Часткові похідні від плоских координат за широтою B мають вигляд:

$$\frac{\partial x}{\partial B} = [R + \sum_{i=1}^{\infty} 2i \cdot A_{2i} \cos(2i \cdot B')] \frac{\partial B'}{\partial B}; \quad (37)$$

$$\frac{\partial y}{\partial B} = [R' \cdot (90^\circ - \psi) - \sum_{i=1}^{\infty} A''_{2i} \sin(2i \cdot \psi)] \frac{\partial e_y}{\partial B} - \\ - [R' + \sum_{i=1}^{\infty} 2i \cdot A'_{2i} \cos(2i \cdot \psi)] \frac{\partial \psi}{\partial B}, \quad (38)$$

$$\text{де } \frac{\partial B'}{\partial B} = \frac{\cos^2 B'}{\cos^2 B \cdot \cos l}; \quad (39)$$

$$\frac{\partial e_y}{\partial B} = \frac{(1-e^2) \rho A'^2 \cdot e^2 \cdot \sin 2\xi \cdot \cos^2 \xi}{2(1-e^2 \cos^2 2\xi) a^2 \cdot e_y \cdot \cos^2 B \cdot \cos l}; \quad (40)$$

$$\frac{\partial \psi}{\partial B} = -\frac{\cos 2\psi}{1-e_y^2} \left(\frac{(1-e^2) \cdot \cos^2 \phi \cdot \sin \phi \cdot \sin l}{\sin^2 \eta \cdot \cos^2 B} + \right. \\ \left. + 2e_y \cdot \operatorname{tg} \psi \cdot \frac{\partial e_y}{\partial B} \right). \quad (41)$$

Часткові похідні від плоских координат за різницею довгот l мають вигляд:

$$\frac{\partial x}{\partial l} = [R + \sum_{i=1}^{\infty} 2i \cdot A_{2i} \cos(2i \cdot B')] \frac{\partial B'}{\partial l}; \quad (42)$$

$$\frac{\partial y}{\partial l} = [R' \cdot (90^\circ - \psi) - \sum_{i=1}^{\infty} A''_{2i} \sin(2i \cdot \psi)] \frac{\partial e_y}{\partial l} -$$

$$-[R' + \sum_{i=1}^{\infty} 2i \cdot A'_{2i} \cos(2i \cdot \psi)] \frac{\partial \psi}{\partial l}, \quad (43)$$

де $\frac{\partial B'}{\partial l} = -\frac{\cos^2 B \cdot \operatorname{tg} B \cdot \sin l}{\cos^2 l}, \quad (44)$

$$\frac{\partial e_y}{\partial l} = -\frac{\rho_A^2 \cdot e^2 \cdot \sin^2 2\xi \cdot \operatorname{tg} l}{4(1-e^2 \cos^2 2\xi) a^2 \cdot e_y}; \quad (45)$$

$$\frac{\partial \psi}{\partial l} = -\frac{\cos^2 \psi}{1-e^2} \left(\frac{\cos \phi \cdot \cos l}{\sin^2 \eta} - 2e_y \cdot \operatorname{tg} \psi \frac{\partial e_y}{\partial l} \right). \quad (46)$$

Значення величин R'' , A''_2 , A''_4 та A''_6 визначаються за формулами:

$$R'' \approx -a \left(2 \frac{1}{4} e_y + 4 \frac{3}{64} e_y^3 + 6 \frac{5}{256} e_y^5 + 8 \frac{175}{16384} e_y^7 \right); \quad (47)$$

$$A''_2 \approx -a \left(2 \frac{3}{8} e_y + 4 \frac{3}{32} e_y^3 + 6 \frac{45}{1024} e_y^5 + 8 \frac{105}{4096} e_y^7 \right); \quad (48)$$

$$A''_4 \approx a \left(4 \frac{15}{256} e_y^3 + \left(6 \frac{45}{1024} \right) e_y^5 + \left(8 \frac{525}{16384} \right) e_y^7 \right); \quad (48)$$

$$A''_6 \approx -a \left(6 \frac{35}{3072} e_y^5 + 8 \frac{175}{12288} e_y^7 \right).$$

Наближене значення зближення меридіанів можна обчислити за відомою формулою [Deakin, 2010]

$$\operatorname{tg} \gamma = \sin B \cdot \operatorname{tg} l. \quad (49)$$

Таблиця 3

Обчислення зближення меридіанів

R''	-193992,064	A''_2	$-291122,592$		
A''_4	336,473	A''_6	$-0,363$		
Зближення меридіанів γ за ∂B					
$\partial B / \partial B$	0,99985573	$\partial \eta / \partial B$	$-0,03880235$		
$\partial e_y / \partial B$	0,05465348	$\partial \psi / \partial B$	$0,03889277$		
$\partial x / \partial B$	6369969,557	$\partial y / \partial B$	$-247779,958$		
$\operatorname{tg} \gamma$	0,03889814	γ	2	13	39
Зближення меридіанів γ' за ∂l					
$\partial e_y / \partial l$	-8,65185E-05	$\partial \psi / \partial l$	$0,668220719$		
$\partial x / \partial l$	-166003,5851	$\partial y / \partial l$	$-4269932,822$		
$\operatorname{tg} \gamma'$	0,03887733	γ'	2	13	35
Зближення меридіанів за наближеною формулою $\operatorname{tg} \gamma \approx \sin B \operatorname{tg} l$					
$\operatorname{tg} \gamma$	0,03894657	γ	2	13	49

Висновки

Розроблено точний алгоритм рівнопроміжної поперечно-циліндричної проекції, в якому використано геоцентричні координатні еліпси – основний меридіан (еліпс абсесис) та перпендикулярний до нього еліпс ординат. Плоскі прямокутні координати обчислено як дуги відповідних еліпсів від екватора до точки перетину осьового меридіана з ординатним еліпсом та від осьового меридіана до заданої точки, а геодезичні координати – як функції довжин дуг координатних еліпсів. Для перетворення координат запропоновано геоцентричні координатні кути в площині координатних еліпсів.

Наведено формули та приклади прямого та зворотного перетворення координат, масштабу спотворення та кута зближення меридіанів.

Математичне моделювання показало можливість трансформування розглянутої рівнопроміжної проекції до практично рівнокутної та рівновеликої проекцій, що може спростити врахування спотворень кутів, довжин ліній та площ.

У наведеному алгоритмі плоскі прямокутні координати визначено з точністю обчислення довжини дуги меридіана і за будь-яких значень геодезичних широт та довгот похибки не перевищують 0,1 мм. Забезпечується також висока точність зворотного перетворення.

Послідовне перетворення координат $B, L \rightarrow x, y \rightarrow B, L$ та $x, y \rightarrow B, L \rightarrow x, y$ із округленням прямокутних координат до 0,1 мм та геодезичних координат до $0,00001"$ показало розбіжність із вихідними даними результатів перетворення прямокутних координат x, y до 0,4 мм, а геодезичних координат B, l – до $0,00003"$.

Отже, наведені алгоритми забезпечують високу точність перетворення координат для будь-яких широт та різниць довгот.

Список літератури

Автори PROJ. Бібліотека програмного забезпечення для перетворення координат PROJ (2025). [Електронний ресурс]. Фонд геопросторових даних з відкритим кодом. <https://proj.org/>.

- Гудз І. М. (2021). Основи математичної картографії : навч. посіб. За наук. ред. П. М. Зазуляка. Львів: Видавництво Львівської політехніки. 504 с.
- Інструкція з топографічного знімання у масштабах 1:5000, 1:2000, 1:1000 та 1:500 (ГКНТА-2.04-02-98). Наказ Головного управління геодезії, картографії та кадастру при Кабінеті Міністрів України від 9.04.1998 р. № 56.
- Геодезичний енциклопедичний словник (2001). За ред. В. Літинського. Львів: Євросвіт. 668 с.
- Порядок використання Державної геодезичної референцної системи координат УСК-2000 при здійсненні робіт із землеустрою. Наказ Міністерства аграрної політики та продовольства України від 2.12.2016 р. № 509.
- Радов С. Г. (2018). Поперечно-циліндрична рівнокутна проекція, побудована на геоцентричних широтах. Зб. матеріалів звіт. наук.-практ. конф. Луган. нац. аграр. ун-ту (Харків, 20–23 лютого 2018 р.). Харків: Стильна типографія. С. 89–91.
- Радов С. Г., Соболев М. Б. (2018). Системи плоских прямокутних координат на основі проекції Кассіні. *Матеріали міжнар. наук.-практ. конф. "Актуальні проблеми землеустрою у сільському господарстві: глобальний, національний та регіональний аспекти".* Умань. С. 25–27.
- Савчук С. Г. (2005). Вища геодезія: підручник. 2-ге вид., допов. Житомир: ЖДТУ. 316 с.
- Deakin R. E., Hunter M. N., Karney C. F. F. (2010). The Gauss – Krüger projection. Victorian Regional Survey Conference (Warrnambool, 10–12 September, 2010).
- Engsager K., Poder K. (2007). A highly accurate world wide algorithm for the transverse Mercator mapping (almost). Proc. XXIII Int. Cartographic Conf. (ICC2007), 4–10 Aug. 2007, Moscow.
- Łomnicki A. (1927). Kartografja matematyczna. Lviv–Warszawa. 191 p.
- Lyszkowicz A. (2024). Geodezyjne systemy i układy odniesienia. Dęblin: Lotnicza Akademia Wojskowa. 106 p.
- Snyder J. P. (1987). Map Projections. A Working Manual. Washington United States Government Printing Office. 384 p.

Stanislav RADOV¹, Serhii ROTTE², Maksym SOBOLIEV³, Valentyna LYTVYN⁴, Alina VOLONTYR⁵

¹ Department of Geodesy, Land Management, Building Structures and Life Safety, Cherkasy State Technological University, 460, Shevchenka Blvd., Cherkasy, 18000, Ukraine, phone: +380505529147, e-mail: s.radov@chdtu.edu.ua; <https://orcid.org/0009-0003-5721-996X>

² Department of Geodesy, Land Management, Building Structures and Life Safety, Cherkasy State Technological University, 460, Shevchenka Blvd., Cherkasy, 18000, Ukraine, phone: +380637906470, e-mail: s.rotte@chdtu.edu.ua; <https://orcid.org/0000-0003-1281-1241>

³ The HALO Trust, 57A, Heorhiy Tarasenko str., Kharkiv, 61000, Ukraine, phone: +380507697382, e-mail: sobolevmaxim@ukr.net

⁴ Department of Geodesy, Land Management, Building Structures and Life Safety, Cherkasy State Technological University, 460, Shevchenka Blvd., Cherkasy, 18000, Ukraine, phone: +380673022165, e-mail: litvin_valyav@ukr.net

⁵ Department of Geodesy, Land Management, Building Structures and Life Safety, Cherkasy State Technological University, 460, Shevchenka Blvd., Cherkasy, 18000, Ukraine, phone: +380987499794, e-mail: a.volontyr@chdtu.edu.ua; <https://orcid.org/0000-0001-5609-4569>

HIGH-PRECISION COORDINATE TRANSFORMATION ALGORITHM FOR EQUIDISTANT TRANSVERSE CYLINDRICAL PROJECTION

The aim of the present study is to design an algorithm for direct and inverse transformation of geodetic coordinates and flat rectangular coordinates of equiintermediate transverse cylindrical projection, based on the use of geocentric coordinate ellipses. *Methods.* General scientific methods of abstraction, analysis, synthesis, and mathematical modeling have been deployed to substantiate the coordinate transformation algorithm. *Results.* The proposed study has developed an accurate algorithm for equiintermediate transverse cylindrical projection, which uses geocentric coordinate ellipses, namely, the axial meridian (ellipse abscissa) and the ordinate ellipse perpendicular to it. Within the coordinate zone, the position of a point on the ellipsoid's surface is uniquely determined by curvilinear coordinates. These coordinates are calculated as arcs of the corresponding ellipses measured from the equator to the intersection point of the axial meridian with the ordinate ellipse, and then from the axial meridian to a given point. The arcs of the corresponding coordinate ellipses are treated as flat rectangular coordinates. To convert these coordinates, proposed transformations use geocentric coordinate angles within the

planes of the coordinate ellipses. These angles are functions of geodesic and rectangular coordinates, which facilitate both direct and inverse transformations. In the given algorithm, flat rectangular coordinates are determined with the accuracy of calculating the meridian arc length. At any geodetic latitudes and longitudes values, the errors do not exceed 0.1 mm. Moreover, high accuracy of the inverse transformation is ensured. The paper provides formulas and examples for calculating the flat rectangular coordinates of an equidistant transverse cylindrical projection using geodesic coordinates, the inverse transformation, the scale of distortion, and the angle of meridian convergence. *Scientific novelty.* The study suggests relying on geocentric coordinate ellipses to substantiate equiintermediate transverse cylindrical projection. *Practical value.* The algorithm presented in the study offers submillimeter accuracy for the direct and inverse transformation of coordinates in equidistant transverse cylindrical projection at any latitude, applicable to coordinate zones with longitude differences of up to $\pm 90^\circ$.

Keywords: transverse cylindrical projection, geometric justification, geodetic coordinates, geocentric coordinate ellipses, geocentric coordinate angles, ellipse arc length, flat rectangular coordinates, coordinate transformations, projection scale, meridian convergence angle.

Надійшла 03.04.2025 р.